



# БИООРГАНИЧЕСКАЯ ХИМИЯ

том 11 \* № 8 \* 1985

УДК 547.854.4'823.057+547.857.7'823.057 : 577.164.13

## ПИРИДОКСИЛ-5'-ПРОИЗВОДНЫЕ НУКЛЕИНОВЫХ ОСНОВАНИЙ

Карпейский А. М., Львова С. Д., Гупар В. И.

Научно-производственное объединение «Витамины», Москва

Осуществлен синтез аналогов нуклеозидов, содержащих вместо остатка углевода фрагмент молекулы витамина В<sub>6</sub> (пиридоксина). Взаимодействием 3,4'-О-изопропилиденпириодоксил-5'-хлорида с натриевыми солями урацила, аденина или бензимидазола с последующим удалением защитных групп получены 1-(пириодоксил-5")урацил, 1,3-бис(пириодоксил-5")урацил, 9-(пириодоксил-5")аденин и 1-(пириодоксил-5")бензимидазол. Аналогичное алкилирование 4-O-метилурацила с последующим аминированием и кислотным гидролизом привело к 1-(пириодоксил-5")цитозину.

Среди негликозидных аналогов нуклеозидов найдены вещества, обладающие высокой биологической активностью [1—4]. Пириодоксильные производные нуклеиновых оснований [5, 6] — новый класс негликозидных аналогов нуклеозидов, потенциальных ингибиторов основных ферментов, участвующих в метаболизме нуклеозидов и нуклеотидов. Настоящее сообщение посвящено синтезу и изучению физико-химических свойств производных 1-(пириодоксил-5")урацила, 9-(пириодоксил-5")аденина и 1-(пириодоксил-5")бензимидазола.

Нами было показано [5], что алкилирование нуклеиновых оснований пиридоксином приводит исключительно к C4'-производным пиридоксина. Поэтому для получения C5'-производных необходимо было избрать другой метод синтеза. Для осуществления этой задачи в положении 5' пириодоксина необходимо иметь хорошую уходящую группу. В этом смысле наиболее доступным соединением является 3,4'-O-изопропилиденпириодоксил-5'-хлорид (VII).

Обработкой гидридом натрия в безводном DMF или 1 н. метилатом натрия в метаноле нуклеиновых оснований и бензимидазола получали их исходные натриевые соли. Конденсацию хлорида (VII) и натриевой соли нуклеинового основания или бензимидазола проводили в безводном DMF при 20° С. При использовании в качестве алкилирующего агента 5'-дезокси-5'-хлорпиридоксина нами отмечено образование продуктов его поликонденсации, что сильно затрудняло выделение и снижало выход целевых веществ.

Обычно алкилирование урацила приводит к смеси N- и O-производных. Их соотношение зависит, как правило, от условий реакции. Для получения заведомого образца 1-(пириодоксил-5")урацила (II) мы алкилировали натриевую соль 4-O-метилурацила хлоридом (VII). Образующийся при этом эфиронид (VI) подвергали гидролизу 10% HCl при 100° С. При аминировании соединения (VI) насыщенным аммиаком в метаноле при 150° С получали 4-(3',4"-O-изопропилиденпириодоксил-5")цитозин (V), который после кислотного гидролиза давал 1-(пириодоксил-5")цитозин (I).

При алкилировании натриевой соли урацила пириодоксилхлоридом (VII) в DMF, по данным ТСХ, образуется смесь двух веществ, одно из которых после удаления защитной группы было идентично соединению (II); другому, образующемуся в преобладающем количестве, на основании данных физико-химического анализа была приписана структура 1,3-бис(пириодоксил-5")урацила (IX).

Важно подчеркнуть, что длительная обработка (18—20 ч) 10% соляной кислотой при 100° С не приводила к гидролизу C5"—N1-связи.

Сокращения: BzIm — бензимидазол.

## УФ-спектры синтезированных соединений

Соединение	$\lambda_{\text{макс}} (\text{с}\cdot 10^{-3})$	
	0,1 н. HCl	0,1 н. NaOH
(I)	287(16,8)	274(9,8), 243(11,5) плечо, 310(8,6)
(II)	268(9,5), 288(10,7)	263(9,1), 248(10,3), 309(8,2)
(III)	268(9,4), 275(10,7), 290(9,1)	263(6,5), 272(5,8), 275(5,8), 247(14,1), 309(8,6)
(IX)	269(17,7)	269(6,1), 245(10,2), 308(8,9)
(XII)	258(15,3), 288(14,8)	256(19,4), 309(9,4)
Пиридоксин *	290(8,4)	245(6,5), 310(7,3)

\* Данные работы [9].

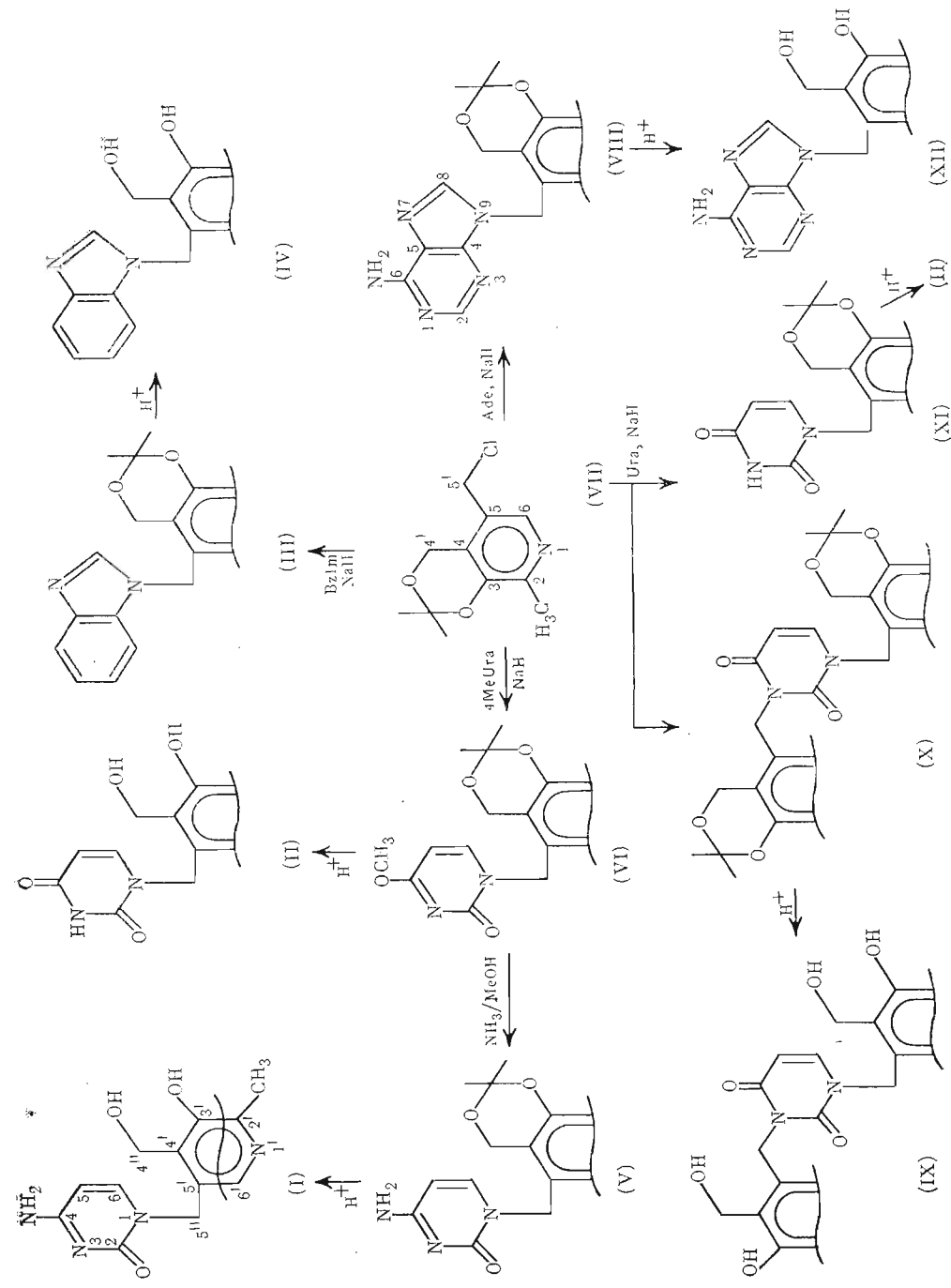
Алкилирование аденина и бензимидазола проводили в условиях, описанных для урацила. Как правило, при алкилировании натриевых солей аденина в DMF образуется смесь соответствующих 3- и 9-изомеров с преобладанием последнего [7]. В нашем случае основной продукт был выделен в индивидуальном состоянии многократной перекристаллизацией из этанола и было доказано (см. далее), что он представляет собой 9-(3',4'-О-изопропилиденпиридоксилен-5')аденин (VIII).

Строение полученных соединений подтверждено с помощью УФ-, ПМР- и масс-спектров. Известно, что в УФ-спектре 1-метилурацила при pH 1 имеется максимум поглощения при 268 нм, а при pH 14 — 265 нм [8]. Катион пиридоксина при pH 1 имеет максимум поглощения в области 290 нм, а в щелочной среде появляются два максимума, отвечающие аниону пиридоксина, — 245 и 310 нм [9].

В УФ-спектрах синтезированных соединений имеются полосы поглощения, характерные как для пиридоксипивой, так и для нуклеиновой части молекулы (табл. 1). В случае производных (II) и (IV) эти полосы не перекрываются, и поэтому отнесение однозначно. В УФ-спектрах соединений (I) и (IX), снятых в кислой среде, имеется явное перекрывание полос, однако в щелочной среде этого не наблюдается, и отнесение также возможно. Отсутствие каких-либо новых полос поглощения позволяет заключить, что, по всей вероятности, взаимодействие между  $\pi$ -электронными системами гетероциклов минимально, а суммарный спектр является суперпозицией спектров пиридоксина и соответствующего нуклеинового основания или бензимидазола. Как видно из табл. 1, соединение (II) ведет себя аналогично 1-метилурацилу: отсутствие батохромного сдвига максимума поглощения, соответствующего урацильной части молекулы, при переходе от pH 1 к pH 14 свидетельствует о том, что соединение (II) является N1-изомером (3-метилурацил при pH 1 имеет  $\lambda_{\text{макс}} 259 \text{ нм}$ , а при pH 14 — 283 нм [8]). Спектральные характеристики соединения (I) в 0,1 н. NaOH близки таковым для производного (II). Соединение (IX), как и 1,3-диметилурацил [8], имеет независимый от pH максимум поглощения урацильной части молекулы при 266 нм. Производные (XII) обладают максимумом поглощения адениновой части молекулы при 258 нм (0,1 н. HCl) и 256 нм (0,1 н. NaOH), что вполне согласуется с поведением 9-метиладенина в аналогичных условиях [8] и позволяет считать рассматриваемое соединение N9-изомером.

Важные сведения о структуре синтезированных соединений были получены при изучении спектров ПМР (табл. 2 и 3), в которых имеются сигналы протонов, соответствующие как пиридоксипивой части молекулы, так и остатку нуклеинового основания или бензимидазола.

Наибольшие трудности вызывала отнесение сигналов 4"-CH<sub>2</sub>- и 5"-CH<sub>2</sub>-групп в синтезированных соединениях. Эта задача решалась с применением техники двойного резонанса с использованием пиридоксина в качестве модельного соединения. При насыщении системы спинов, соответствующей сигналу протона 6-H в спектре пиридоксина, мы наблюдали незна-



## Спектры ПМР пиридоксил-5'-пирамидинов \*

Соединение	Химические сдвиги, δ, м. д. (J, Гц)					
	2'-CH <sub>3</sub> с	4"-CH <sub>2</sub> с	5"-CH <sub>2</sub> с	6'-H ус	5-H д	6-H д
(V)	2,31	4,81	4,98	7,88	7,68 (7,5)	5,81 (7,5)
(VI)	2,38	4,70	4,81	7,82	7,28 (8,0)	5,80 (8,0)
(X)	2,26 и 2,28	4,86	4,96	7,73 и 7,78	7,73 (8,0)	5,76 (8,0)
(I)	2,66	5,00	5,25	8,07 (7,6)	7,92 (7,6)	6,24 (7,6)
(II)	2,63	4,996	5,17	7,96	7,70 (8,0)	5,90 (8,0)
(IX)	2,58	4,90 и 5,01	5,18 и 5,24	7,81 и 7,83	7,75 (7,8)	6,03 (7,8)

\* Спектры соединений (V), (VI) и (X) записаны в DMSO-d<sub>6</sub>, соединений (I), (II) и (IX) — в D<sub>2</sub>O. В спектрах производных (V), (VI), (X) сигнал протонов изопропиленовой группы находится при 1,53; 1,50 и 1,48 м. д. соответственно, а метоксильной группы соединения (VI) — при 3,90 м. д.

чительное сужение сигнала 4'-CH<sub>2</sub> и расщепление сигнала 5'-CH<sub>2</sub> до дублета, что свидетельствует, вероятно, о наличии слабого взаимодействия между 5'- и 4'-CH<sub>2</sub>. Подавление спин-спинового взаимодействия с 5'-CH<sub>2</sub> приводит к значительному сужению сигнала 6-H. При насыщении системы спиралей, отвечающей 4'-CH<sub>2</sub>, сигнал протона 6-H проявляется в виде искаженного триплета с константой спин-спинового взаимодействия 0,5 Гц. На основании этих данных можно утверждать, что уширенный сигнал, отвечающий 6-H в спектре ПМР пиридоксина, представляет собой мультиплет, отражающий спин-спиновое взаимодействие с 5'-CH<sub>2</sub> и сверхдалльнее взаимодействие с 4'-CH<sub>2</sub>. Наличие взаимодействия между 5'-CH<sub>2</sub> и 6-H и связанного с ним значительного уширения сигнала последнего мы положили в основу отнесения сигналов 5"-CH<sub>2</sub> и 4"-CH<sub>2</sub> в исследуемых в настоящей работе соединениях.

В спектре ПМР соединения (II) сигнал при 4,99 м. д. отнесен пами к 4"-CH<sub>2</sub>, а сигнал при 5,17 м. д. — к 5"-CH<sub>2</sub>. При насыщении системы спиралей, дающей сигнал при 5,17 м. д., происходит сужение сигнала 6'-H (полуширина до подавления 1,8 Гц, после — 0,6 Гц). При насыщении системы спиралей, соответствующей сигналу при 4,99 м. д., мы не наблюдали заметного изменения полуширины сигнала 6'-H. Как в пиридоксине и соединении (II), так и в случае производного (XII) сигнал 6'-H значительно уширен. Сигнал при 5,04 м. д. отнесен к 4"-CH<sub>2</sub>, а при 5,66 м. д. — к 5"-CH<sub>2</sub>. Следует подчеркнуть, что характерным признаком сигнала 5"-CH<sub>2</sub> во всех соединениях, рассматриваемых в данном сообщении, является значительная большая полуширина линии по сравнению с сигналом 4"-CH<sub>2</sub>.

Таблица 3

## Спектры ПМР пиридоксил-5'-аденина и -бензимидазола \*

Соединение	Химические сдвиги, δ, м. д.					
	2'-CH <sub>3</sub> с	4"-CH <sub>2</sub> с	5"-CH <sub>2</sub> с	6'-H ус	8-H с	2-H с
(III)	2,39	4,41	5,15	7,75	7,15—7,28 **	7,95
(VIII)	2,30	5,04	5,29	7,88	8,11	8,22
(IV)	2,65	4,98	5,98	7,89	7,66—7,71 **	9,22
(XII)	2,67	5,04	5,66	7,96	8,36	8,41

\* Спектры соединений (III), (VIII) записаны в DMSO-d<sub>6</sub>, соединений (IV), (XII) — в D<sub>2</sub>O. В спектрах производных (III) и (VIII) сигнал протонов изопропиленовой группы находится при 1,42 м. д.

\*\* Мультиплет протонов бензольного кольца.

## Масс-спектры соединений (II), (IV), (XII)

Соединение	<i>m/z</i>	Относительная интенсивность, %	Фрагмент
(II)	263	16,2	<i>M</i> <sup>+</sup>
	245	41,9	<i>M</i> <sup>+</sup> - H <sub>2</sub> O
	152	25,5	<i>M</i> <sup>+</sup> - Ura
	151	100,0	<i>M</i> <sup>+</sup> - Ura - H
	138	25,5	<i>M</i> <sup>+</sup> - Ura - C <sub>2</sub> H <sub>2</sub>
	125	4,6	Ura - CH <sub>2</sub> <sup>+</sup>
	112	32,2	Ura <sup>+</sup>
	82	29,3	Ura <sup>+</sup> - HNCO
	69	15,6	Ura - C <sub>2</sub> H <sub>2</sub> <sup>+</sup> - HNCO
(IV)	269	100,0	<i>M</i> <sup>+</sup>
	251	37,5	<i>M</i> <sup>+</sup> - H <sub>2</sub> O
	151	17,8	<i>M</i> <sup>+</sup> - BzIm
	119	62,7	BzIm - H
	118	9,2	BzIm <sup>+</sup>
(XII)	286	6,1	<i>M</i> <sup>+</sup>
	268	3,5	<i>M</i> <sup>+</sup> - H <sub>2</sub> O
	151	15,4	<i>M</i> <sup>+</sup> - Ade
	135	15,1	Ade <sup>+</sup>

Отнесение сигналов 2- и 8-Н в соединении (XII) осуществляли, используя обмен протона 8-Н на дейтерий при нагревании в D<sub>2</sub>O, что приводило к значительному уменьшению интенсивности сигнала 8-Н при неизменной интенсивности сигнала 2-Н. Таким образом, сигнал при 8,41 м.д. отнесен нами к 2-Н, а сигнал при 8,36 м.д. — к 8-Н.

Для подтверждения структуры соединений (II) и (XII) мы провели эксперименты по наблюдению ядерного эффекта Оверхаузера (ЯЭО). В соединении (II) максимальную величину ЯЭО при насыщении 5'-CH<sub>2</sub> мы наблюдали между 5'-CH<sub>2</sub> и 6'-Н. Эта величина составила *f*<sub>8</sub>(5') = 0,45. На основании этого факта можно считать, что рассматриваемые группы атомов обладают наибольшей пространственной близостью, что возможно только в N1-изомере. В соединении (XII) максимальный ЯЭО при насыщении 5'-CH<sub>2</sub> наблюдали между 5'-CH<sub>2</sub> и 8-Н. В этом случае величина ЯЭО составила *f*<sub>8</sub>(5') = 0,4. Таким образом, можно заключить, что аналог (XII) представляет собой N9-изомер. Дополнительно к этому, согласно [10], разность химических сдвигов  $\Delta\delta_{2,8}$  у N3-алкилденинов лежит в пределах 0,4–0,8 м.д., а у N9-производных — 0,05–0,15 м.д. Для производного (XII)  $\Delta\delta_{2,8}$  составила 0,05 м.д., что хорошо согласуется с приведенной структурой.

В масс-спектрах всех синтезированных соединений присутствуют пики соответствующих молекулярных ионов и пики ионов, отвечающих остаткам пиридоксина и нуклеинового основания или бензимидазола (табл. 4 и 5). Дальнейшая фрагментация остатков пиридоксина [11, 12] и нуклеиновых оснований [13] совпадает с литературными данными. Фрагментация соединения (II) находится в полном соответствии со структурой 1-алкилурцила [13].

Таким образом, разработанные нами методики позволяют получать новый тип негликозидных аналогов нуклеозидов на основе пиридоксина.

## Экспериментальная часть

Температуры плавления, определенные на блоке Коффера, не исправлены. УФ-спектры измеряли на приборе Beckman 26 (США). Масс-спектры записаны на приборе Jeol JMS-01-SG-2 (Япония), спектры ЯМР — на приборах Bruker WP-80 (ФРГ) и Varian XL-100-15 (США). ЯЭО наблюдали на приборе XL-100-15 при 37° С. Образцы после предварительной обработки с Chelex-100 в D<sub>2</sub>O лиофилизовали и растворяли в 0,6 мл D<sub>2</sub>O (99,8%). Значения ЯЭО вычисляли по формуле

$$(h-h_0)/h_0,$$

Характеристики синтезированных соединений

Соединение	$R_f$ (система ра- створителей)	Т. пп., °C	M+	Найдено, %		Высчитано, %	
				C	H	C	N
(I)	0,19(B)	>300	262	40,84	5,12	40,80	5,21
(II)	0,13(A) 0,14(B)	227–229	263	47,82	4,77	48,09	4,71
(III)	0,68(A)	56	309	69,75	6,48	69,88	6,49
(IV)	0,20(A)	141–143	269	52,48	4,92	52,64	5,00
(V)	0,37(A)	—	302	59,60	6,05	59,41	5,98
(VI)	0,44(B)	89–91	317	60,63	6,08	60,55	6,04
(VII)	0,42(F)	206–209	326	58,73	5,62	58,88	5,56
(VIII)	0,42(B)	—	414	49,52	4,85	49,29	4,96
(IX)	0,55(F)	97–98	594	62,92	5,95	63,14	6,11
(X)	0,47(F)	93–94	303	59,53	5,67	59,39	5,65
(XI)	0,41(A) 0,29(B)	246–247	286	43,35	4,52	43,37	4,49
(XII)							23,48

где  $h$  — высота пика при насыщении выбранной системы спинов,  $h_0$  — высота того же пика без насыщения. Обмен на дейтерий осуществляли нагреванием образца при 70° С в течение 16 ч (80% обмена). Химические сдвиги приведены в миллионных долях относительно внутренних стандартов: тетраметилсилацетат или натриевой соли 3-(триметилсилил)тетрадейтериопропионовой кислоты (сокращения: с — спиглет, ус — уширенный спиглет, д — дублет, м — мультиплет). ТСХ проводили на пластинках Silufol UV-254 (ЧССР) в системах растворителей: ацетон — диоксан — 25% аммиак, 9 : 9 : 2 (А), хлороформ — этанол, 10 : 1 (Б), изоамиловый спирт — ацетон — вода — диэтиламин, 24 : 18 : 6 : 8 (В), хлороформ — этанол, 20 : 3 (Г). Колоночную хроматографию осуществляли на силикагеле L40/100 мкм (Chemapol, ЧССР), элюируя системами хлороформ — этанол, 50 : 1 (Д), 30 : 1 (Е), 40 : 1 (Ж).

3,4'-О-Изопропилиденпиридоксил-5'-хлорид получали по методу [14] в виде хлоргидрата. Для перевода в основание хлоргидрат суспензировали в хлороформе и промывали 3 раза холодным насыщенным раствором бикарбоната натрия. Органический слой высушивали над сульфатом натрия и использовали для последующих реакций.

**Алкилирование нуклеиновых оснований и бензимидазола. а)** К раствору урацила, 4-О-метилурацила, аденина или бензимидазола (7,58 ммоль) в 20–50 мл безводного DMF прибавляли порциями 1,3–1,5 экв. гидрида натрия и перемешивали до окончания выделения водорода. Затем по каплям прибавляли раствор хлорида (VII) (7,58 ммоль) в 5–10 мл хлороформа и перемешивали 4–12 ч при 20° С. Образовавшийся неорганический осадок отфильтровывали и промывали DMF. Объединенные фильтраты упаривали в вакууме при 60–70° С, остаток несколько раз упаривали с этанолом. Соединение (VIII) выделяли кристаллизацией из этанола (выход 55%), соединения (III), (VI) и (Х), (XI) — колоночной хроматографией в системе Ж, Д и Е; выход 60, 70, 12 и 56% соответственно. Полученные изопропилиденовые производные гидролизовали 10% HCl при 100° С в течение 15 мин. Полученный раствор упаривали досуха и несколько раз упаривали с водой и спиртом. Остаток сушили в вакууме над P<sub>2</sub>O<sub>5</sub> при 60–80° С.

б) Нуклеиновые основания или бензимидазол растворяли в 1 н. растворе метилата натрия в метаноле, выдерживали 5–10 мин при 20° С и упаривали досуха. Остаток растворяли в безводном DMF и подвергали взаимодействию с хлоридом (VII), как описано в способе а.

**I-(Пиридоксил-5')цитозин (I).** Раствор 4 г соединения (VI) в 15 мл метанола, насыщенного при 0° С аммиаком, нагревали 6 ч в автоклаве при 150° С. После охлаждения реакционной смеси осадок отфильтровывали, а маточный раствор упаривали до начала кристаллизации. Вынавший осадок отделяли, соединяли с предыдущим и кристаллизовали из водного ацетона. Получали 0,75 г (80%) I-(3',4"-О-изопропилиденпиридоксил-5")цитозина (V). После удаления защитной группы обычным способом и осаждения ацетоном получали 95% соединения (I) в виде хлоргидрата.

**I-(Пиридоксил-5")урацил (II).** Растворяли 2 г (6,3 ммоль) соединения (VI) в 10 мл 10% HCl и нагревали 20 мин при 100° С. Раствор охлаждали, обрабатывали активированным углем, фильтровали и упаривали досуха. Остаток несколько раз упаривали с водой и этанолом и высушивали в вакууме над P<sub>2</sub>O<sub>5</sub> при 60–80° С. Получали 1,58 г (95%) соединения (II) в виде хлоргидрата.

Авторы выражают глубокую благодарность И. Д. Бобрускину за измерение и обсуждение спектров ЯМР.

## ЛИТЕРАТУРА

- Крицын А. М., Флорентьев В. Л. Биоорган. химия, 1977, т. 3, № 2, с. 149–171.
- De Clercq E., Torrecue P. F. J. Carbohydr. Nucleosides, Nucleotides, 1978, v. 5, № 3, p. 187–224.
- De Clercq E. Trends in Pharm. Sci., 1982, № 12, p. 492–495.
- Преображенская М. Н., Мельник С. Я. Аналоги компонентов нуклеиновых кислот — ингибиторы нуклеинового обмена. Итоги науки и техники. ВИНТИ. «Биоорганическая химия», 1983, т. 1.

5. Карапейский А. М., Львова С. Д., Гунар В. И., Михайлов С. Н. Биоорганическая химия, 1980, т. 6, № 7, с. 1047–1052.
6. Карапейский А. М., Львова С. Д., Гунар В. И., Михайлов С. Н. В кн.: Перспективы биоорганической химии в создании новых лекарственных препаратов. Тез. докл. Рига, 1982, с. 131.
7. Sueita T., Yamanchi K., Kinoshita M., Imoto M. Bull. Chem. Soc. Japan, 1972, v. 45, № 3, p. 926–928.
8. Albert A. In: Synthetic procedures in nucleic acid chemistry/Eds Zorbach W. W., Tipson R. S. Wiley – Interscience, 1973, v. 2, p. 47–123.
9. Johnson R. J., Metzler D. E. In: Methods in Enzymology/Eds McCormick D. B., Wright L. D. 1970, v. 18A, p. 433–471.
10. Beasley E. A., Rasmussen M. Aust. J. Chem., 1981, v. 34, p. 1107–1116.
11. De Yongh D. C., Perricone S. C., Gay M. L. Org. Mass Spectr., 1968, v. 1, p. 151–166.
12. De Yongh D. C., Perricone S. C., Korytnyk W. J. Amer. Chem. Soc., 1966, v. 88, p. 1233–1237.
13. McCloskey J. A. In: Basic principles in nucleic acid chemistry/Ed. Ts'o P. O. P. v. 2, Acad. Press, 1974, p. 209–309.
14. А. с. 722908 (СССР). Способ получения дисульфида пиридоксина/Склиров Л. Ю. Опубл. в Откр., изобр., пром. образцы, тов. знаки, 1980, № 11, с. 81.

Поступила в редакцию  
26.II.1985

## PYRIDOXYL-5'-DERIVATIVES OF NUCLEOBASES

KARPEISKY A. M., LYVOVA S. D., GUNAR V. I.

All-Union Vitamin Research Institute, Moscow

The synthesis of nucleoside analogues having instead of sugar moiety the vitamin B<sub>6</sub> (pyridoxine) fragment was carried out. The reaction of 3,4'-O-isopropylidene-pyridox-5'-yl-chloride with sodium salts of uracyl, adenine of benzimidazole followed by deblocking afforded 1-(pyridoxyl-5')uracyl, 1,3-bis(pyridoxyl-5")uracyl, 9-(pyridoxyl-5")adenine and 1-(pyridoxyl-5")benzimidazole, respectively. Alkylation under the same conditions of 4-O-methyluracyl followed by amination and deprotection resulted in 1-(pyridoxyl-5")cytosine. The structure of all compounds synthesized was elucidated by means of UV-, NMR- and mass-spectroscopy.